



istituto per il rilevamento  
elettromagnetico  
dell'ambiente

***Monitoraggio DInSAR di aree vulcaniche***  
**Monitoraggio di Vulcano e Stromboli**

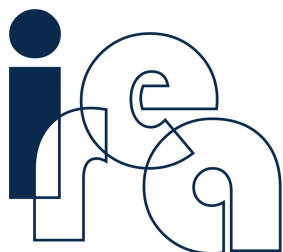
**Analisi DInSAR di Stromboli tramite dati Sentinel-1 e SAOCOM**  
**Aggiornamento al 6 gennaio 2023**

Gruppo di lavoro:

Manuela Bonano, Francesco Casu, Claudio De Luca, Michele Manunta, Fernando Monterroso,  
Giovanni Onorato, Yenni Roa, Ivana Zinno

Rif: WP1\_EOLI\_SNT\_23\_01\_S

11 gennaio 2023



istituto per il rilevamento  
elettromagnetico  
dell'ambiente

## Introduzione

La presente relazione fornisce una descrizione degli spostamenti del suolo misurati nell'isola di Stromboli, nel periodo 24 aprile 2015 – 6 gennaio 2023, mediante tecniche di Interferometria Differenziale Radar ad Apertura Sintetica (DInSAR) applicate ai dati acquisiti dai sensori Sentinel-1 del programma europeo Copernicus e SAOCOM dell'agenzia spaziale argentina (CONAE).

Lo stato delle osservazioni si può riassumere come segue:

- La parte lungo costa del settore settentrionale della Sciara del Fuoco presenta da marzo 2020 fino al 6 gennaio 2023 un andamento stabile in abbassamento di circa 2 mm/mese.
- Il segnale di deformazione in abbassamento della parte sommitale della Sciara del Fuoco, registrato in seguito al parossismo del 3 luglio 2019, mostra un andamento stazionario nel tempo. Negli ultimi due mesi circa, nella parte più prossima alla sommità, si registra un incremento dell'abbassamento e dello spostamento verso ovest, la cui entità e andamento andranno verificati con la disponibilità di nuove acquisizioni.
- L'analisi dei singoli interferogrammi acquisiti lungo orbita discendente, relativi al periodo 7 dicembre 2022 – 31 dicembre 2022 per Sentinel-1 e 15 agosto 2022 – 6 gennaio 2023 per SAOCOM, mostra che il segnale di fase associato alla colata lavica dell'agosto 2019 appare ormai di bassa entità e si confonde nel breve periodo con il rumore di fase associato a disturbi atmosferici.
- Inoltre, l'analisi dei suddetti interferogrammi mostra, per entrambi i sensori, il perdurare del segnale di fase in allontanamento localizzato nella parte sommitale del settore settentrionale della Sciara del Fuoco, già evidenziato nelle precedenti relazioni. Non sono visibili segnali di fase chiaramente riconducibili a deformazione alla scala del vulcano.

### Analisi degli interferogrammi e delle serie temporali di deformazione

Nel periodo aprile 2015 – giugno 2019 (precedente al parossismo del 3 luglio 2019), lo Stromboli è stato interessato da uno spostamento pressoché continuo lungo il versante occidentale dell'isola, caratterizzato da una componente di subsidenza ed una orizzontale (lungo la direzione est-ovest) verso occidente.

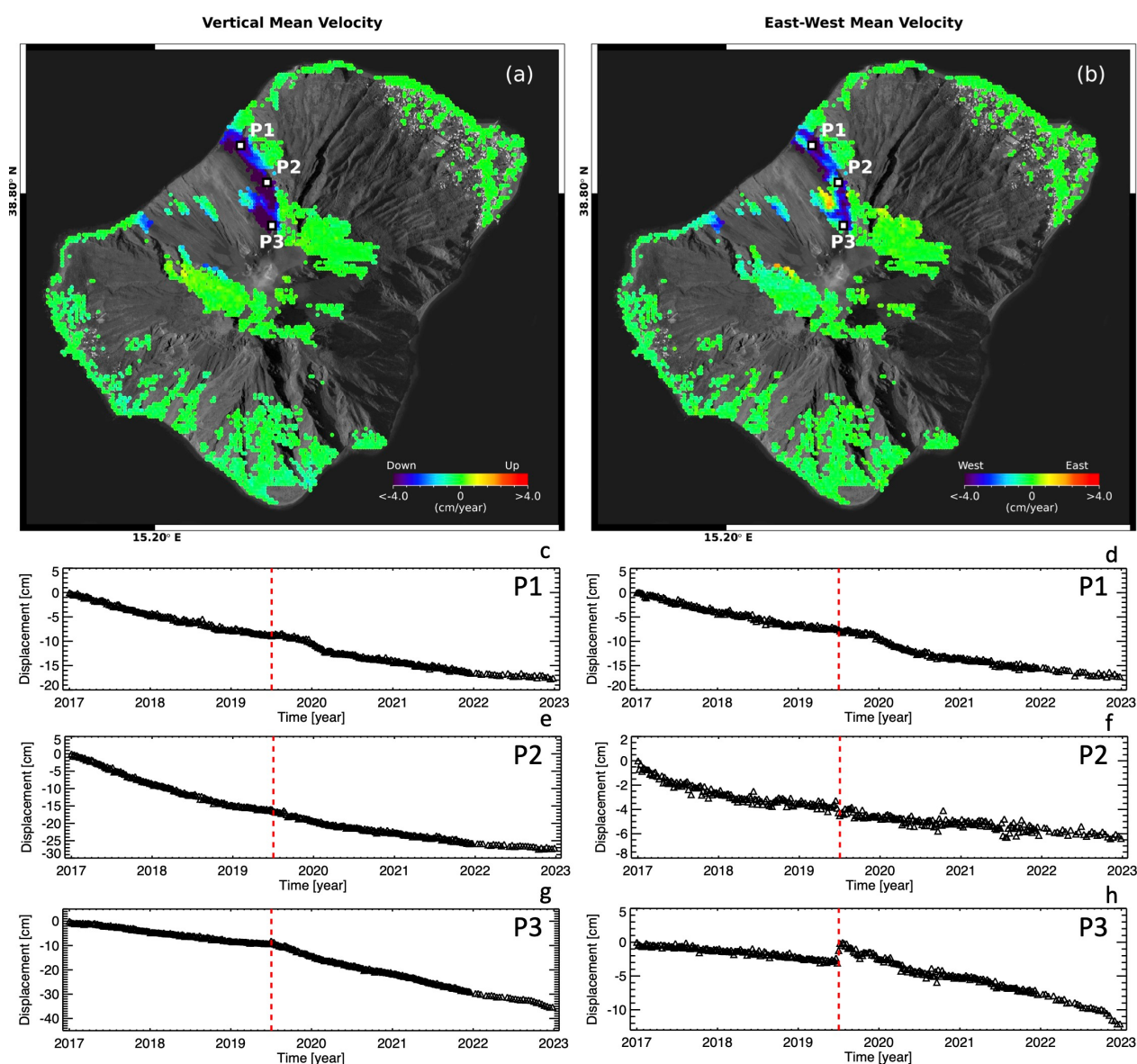


Figura 1. Mappe delle componenti Verticale ed Est-Ovest della velocità media di deformazione relative al periodo 24 aprile 2015 –6 gennaio 2023 generate a partire da dati Sentinel-1. a) Componente Verticale. b) Componente Est-Ovest. c-h) Andamento temporale della deformazione lungo la direzione Verticale (c)(e)(g) ed Est-Ovest (d)(f)(h) in corrispondenza di tre punti identificati come P1, P2 e P3 in (a)-(b) nel periodo gennaio 2017 –6 gennaio 2023. La linea rossa tratteggiata indica il parossismo del 3 luglio 2019.

A seguito dei parossismi del 3 luglio 2019 e 28 agosto 2019, nella Sciara del Fuoco si è riscontrato un peggioramento della qualità del segnale di fase (rumore di decorrelazione) a causa principalmente del deposito del materiale emesso durante i suddetti eventi, che ha modificato la scena dal punto di vista elettromagnetico. Ne consegue che, successivamente al 3 luglio, le serie temporali di deformazione sono da considerarsi affidabili nel settore

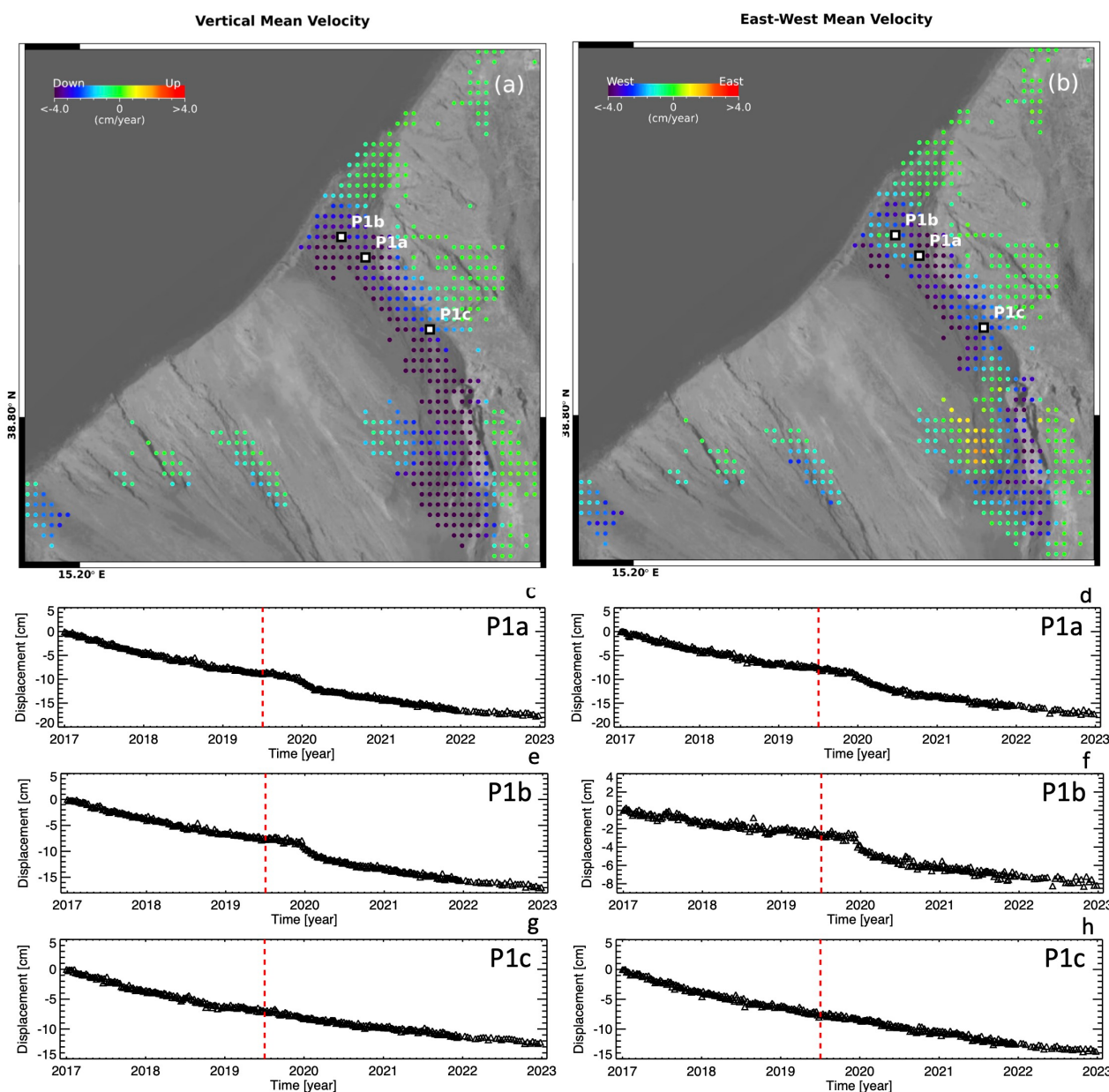


Figura 2. Mappe delle componenti Verticale ed Est-Ovest della velocità media di deformazione dell'area settentrionale della Sciara del Fuoco relative al periodo 24 aprile 2015 –6 gennaio 2023. a) Componente Verticale. b) Componente Est-Ovest. c-h) Andamento temporale della deformazione lungo la direzione Verticale (c)(e)(g) ed Est-Ovest (d)(f)(h) in corrispondenza di tre punti identificati come P1a, P1b e P1c in (a)-(b) nel periodo gennaio 2017 –6 gennaio 2023. La linea rossa tratteggiata indica il parossismo del 3 luglio 2019.

settentrionale della Sciara del Fuoco, mentre nella parte centro-meridionale sono affette da un elevato livello di rumore. Resta invariato lo scenario per il resto dell'isola.

Ciò premesso, in Figura 1 sono mostrate le serie temporali di deformazione, relative ad alcuni punti della Sciara del Fuoco, a partire dal 2017 fino al 6 gennaio 2023. Si può notare come le zone lungo costa e centrali del settore settentrionale siano interessate da un andamento della deformazione (punti P1 e P2 in Figura 1a-b) la cui entità non è stata influenzata in maniera significativa dagli eventi parossistici di luglio e agosto 2019 (l'evento del 3 luglio 2019 è indicato con una linea rossa tratteggiata nei grafici di Figura 1), come evidenziato dall'evoluzione temporale, sia nelle componenti verticali (Figura 1c,e), sia est-ovest (Figura 1d,f), della deformazione.

Nell'area lungo costa nel periodo dicembre 2019 – febbraio 2020 è stato rilevato un incremento dei tassi di deformazione sia verticale (Figura 1c) sia est-ovest (Figura 1d). In particolare, in Figura 2 sono mostrate le serie temporali di deformazione relative ad alcuni punti localizzati nell'area lungo costa del settore settentrionale della Sciara del Fuoco (Figura 2c-f). Dall'analisi di Figura 2 si nota che l'entità del tasso di spostamento (abbassamento) nel periodo dicembre 2019 – febbraio 2020 è di circa 1 cm/mese, mentre da marzo 2020 fino al 6 gennaio 2023 il tasso è pressoché costante con valori della velocità verticale media di circa 2 mm/mese. L'area della Sciara del Fuoco interessata da questo cambio di *trend* deformativo è confinata alla parte più vicina alla costa. A tal riguardo, infatti, in Figura 2g-h sono presentati due grafici che rivelano come l'andamento della deformazione non mostri variazioni significative per aree lontane dalla costa.

Infine, per quanto riguarda l'area più vicina alla sommità, come già evidenziato nelle relazioni precedenti, la stessa presenta, successivamente al 3 luglio 2019, un incremento del tasso di deformazione (punto P3 in Figura 1a-b) rispetto al periodo precedente. In particolare, la

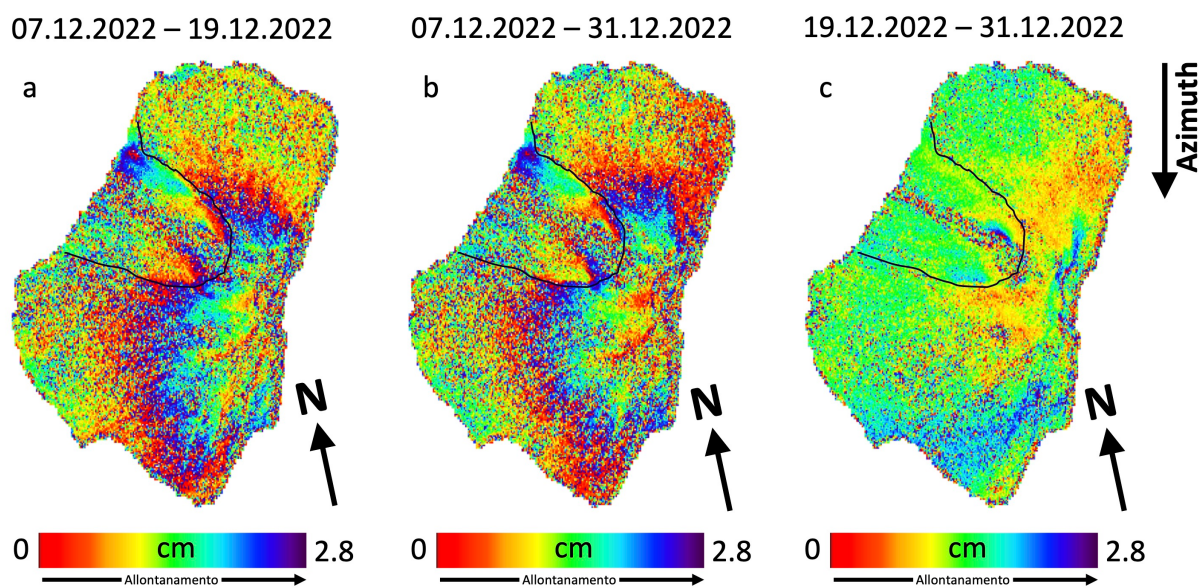


Figura 3. Interferogrammi differenziali, in geometria radar, generati a partire da dati acquisiti lungo orbite discendenti dai sensori Sentinel-1. Gli interferogrammi utilizzano i dati acquisiti a partire dal 7 dicembre 2022 fino al 31 dicembre 2022. In nero sono indicati i confini della Sciara del Fuoco, per riferimento.

componente verticale (Figura 1g) mostra uno spostamento massimo verso il basso di circa 26 cm dal 3 luglio 2019 al 6 gennaio 2023. La componente Est-Ovest (Figura 1h) è leggermente più rumorosa nei mesi immediatamente successivi al 3 luglio per poi stabilizzarsi intorno agli ultimi mesi del 2019.

All'incirca negli ultimi due mesi, nella parte più prossima alla sommità (punto P3 in Figura 1a-b, grafici in Figura 1g-h), si registra un incremento dell'abbassamento e dello spostamento verso ovest la cui entità e andamento andranno verificati con la disponibilità di nuove acquisizioni.

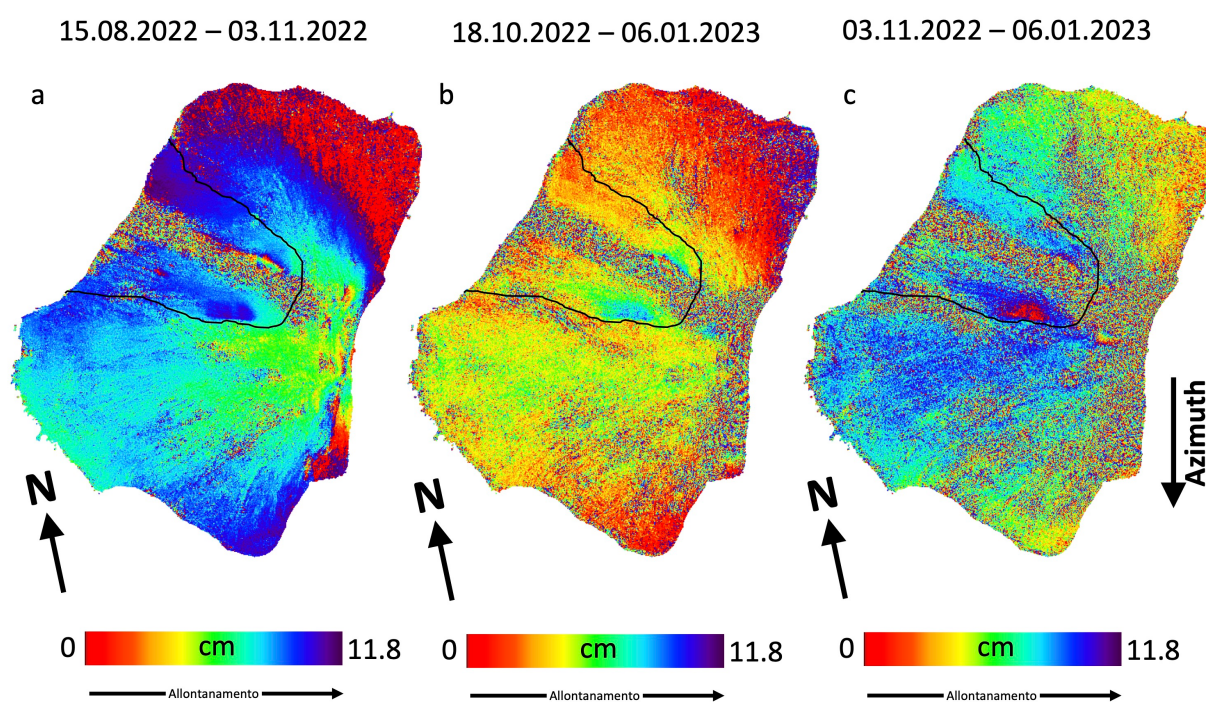
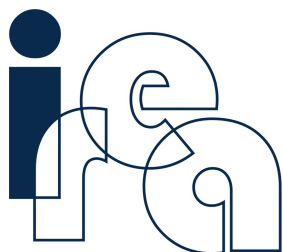


Figura 4. Interferogrammi differenziali, in geometria radar, generati a partire da dati acquisiti lungo orbite discendenti dal sensore SAOCOM nei giorni: 15.08.2022, 18.10.2022, 03.11.2022, 06.01.2023. In nero sono indicati i confini della Sciara del Fuoco, per riferimento.

A partire dal 31 agosto (prima acquisizione successiva al parossismo del 28 agosto), nel settore meridionale della Sciara del Fuoco è stato notato un segnale di fase interferometrica, già evidenziato nelle precedenti relazioni. La Figura 3 mostra, in geometria radar, alcuni degli interferogrammi differenziali generati con i dati acquisiti da Sentinel-1 nell'ultimo mese (dal 7 dicembre 2022 al 31 dicembre 2022) lungo orbite discendenti. Come già evidenziato nelle precedenti relazioni, si può notare come il segnale di fase rilevato dal 31 agosto 2019 nella porzione sommitale del settore centro-meridionale della Sciara del Fuoco sia difficilmente rilevabile nel breve periodo, e si confonda con il rumore di fase associato a disturbi atmosferici (Figura 3a-c). Lo stesso segnale è rilevabile anche dagli interferogrammi generati con i dati acquisiti da SAOCOM (Figura 4a-c).

Inoltre, per entrambi i sensori, è ancora visibile il segnale di fase di allontanamento (inferiore a mezza frangia in 12 giorni, per Sentinel-1) localizzato nella parte sommitale del settore settentrionale della Sciara del Fuoco (Figura 3, Figura 4), a ridosso dell'area in decorrelazione visibile negli interferogrammi di entrambi i sensori. Si sfrutteranno le prossime acquisizioni per comprendere meglio l'entità e l'evoluzione di tale segnale.

Infine, l'analisi dei singoli interferogrammi (Figura 3 e Figura 4) non mostra segnali di fase chiaramente riconducibili a deformazione alla scala del vulcano.



## Appendice A

### Stato delle acquisizioni Sentinel-1 utilizzate e dettagli tecnici dell'elaborazione DInSAR

La deformazione superficiale dell'isola di Stromboli è stata studiata tramite i dati acquisiti dai sensori SAR della costellazione Sentinel-1. Dal 23 dicembre 2021 in poi il satellite Sentinel-1B non ha più acquisito a causa di un problema all'alimentazione del sistema radar. Di conseguenza, successivamente a questo evento, per generare le serie temporali delle componenti verticale ed est-ovest della deformazione, sono state utilizzate le acquisizioni del solo Sentinel-1A fino al 6 gennaio 2023 per le orbite ascendenti, e al 31 dicembre 2022 per quelle discendenti. Nello specifico sono state impiegate 382 immagini SAR acquisite da orbite ascendenti (*Track* 44) e 380 da quelle discendenti (*Track* 124).

In Tabella A1 sono riassunte le principali caratteristiche dei dati Sentinel-1 utilizzati. In Figura A1 è mostrata la distribuzione delle acquisizioni nel piano Tempo/Baseline Perpendicolare nell'intervallo temporale 24 aprile 2015 – 6 gennaio 2023. Da questi dati sono state generate, per ciascun'orbita, le relative serie temporali di deformazione e le mappe di velocità media nella linea di vista del sensore (LOS), sfruttando l'algoritmo di interferometria SAR differenziale denominato SBAS (Small Baseline Subset) [1]. Per l'elaborazione SBAS è stato impiegato un DEM SRTM dell'area con una risoluzione spaziale di 30 m. Sia gli interferogrammi differenziali sia le successive mappe e serie storiche di deformazione hanno una risoluzione spaziale di circa 30 m, ottenuta a valle di un'operazione di *multilooking*. La disponibilità di informazioni da entrambe le orbite (ascendente e discendente) ha permesso di scomporre lo spostamento in LOS osservabile dal SAR lungo le direzioni Verticale ed Est-Ovest, seguendo l'approccio presentato in [2] (si noti che la proiezione della componente Nord-Sud dello spostamento lungo la linea di vista del sensore è trascurabile, dal momento che i satelliti percorrono orbite polari). Essendo lo scarto temporale fra passaggi ascendenti e discendenti di circa 12 ore e assumendo che la variazione di deformazione sia trascurabile in un intervallo così breve, è stato possibile combinare le singole acquisizioni ascendenti e discendenti per generare le serie temporali delle componenti di deformazione Verticale ed Est-Ovest. Ciò è valido da settembre 2016 al 23 dicembre 2021, in concomitanza della piena operatività di Sentinel-1B. Per i periodi antecedente (aprile 2015 – settembre 2016) e successivo, per i quali si dispone di un unico sensore, si è assunto che la variazione di

Tabella A1		
Caratteristiche principali dei dati S1 utilizzati per l'analisi interferometrica		
	Ascendente	Discendente
Lunghezza d'onda	5,5 cm	
Modalità di acquisizione	Terrain Observation by Progressive Scans	
Angolo di vista a centro scena	~39°	
Risoluzione spaziale dato interferometrico	~30 m x 30 m	
Track	44	124
Periodo di osservazione	30/04/2015 – 06/01/2023	24/04/2015 – 31/12/2022
Numero di acquisizioni	382	380

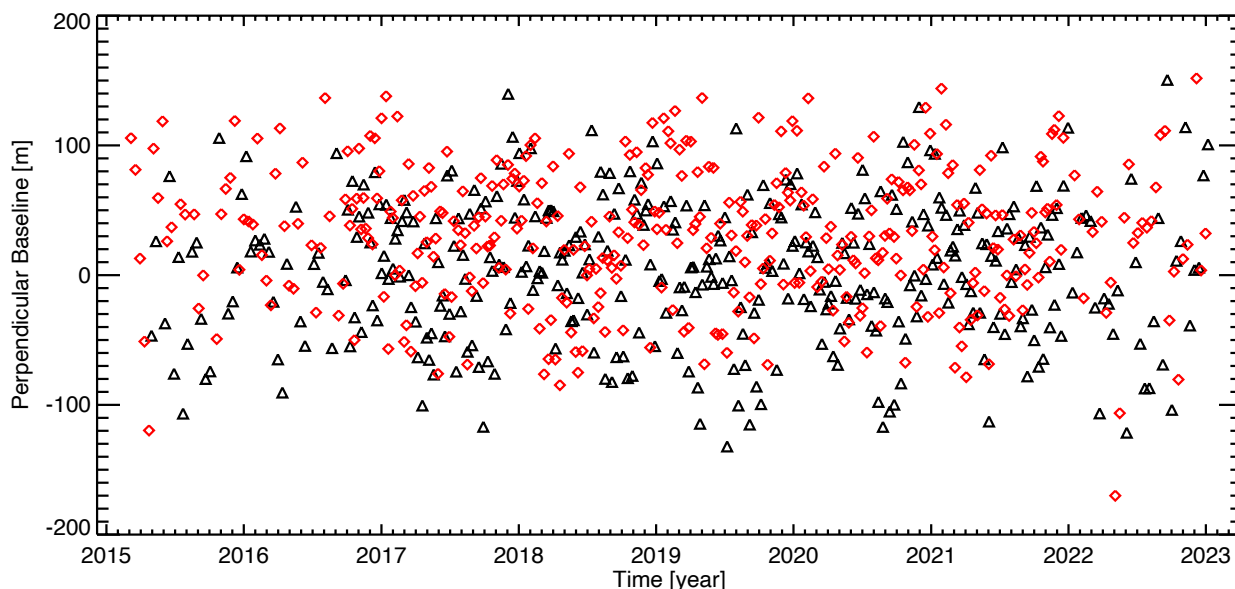


Figura A1. Distribuzione nel piano Tempo/Baseline Perpendicolare dei dati SAR Sentinel-1 utilizzati per l'analisi interferometrica SBAS. In nero e rosso sono rappresentati i dati acquisiti, rispettivamente, da orbite ascendenti e discendenti.

deformazione fra acquisizioni ascendenti e discendenti in 6 giorni fosse trascurabile. In generale, tali assunzioni sono valide nel momento in cui non avvengono deformazioni improvvise e di elevata entità (ad esempio terremoti di elevata magnitudo o eruzioni) nel periodo che intercorre fra i due passaggi, come nel caso in esame.

Infine si rimarca che le misure sono riferite ad un punto individuato nell'abitato dell'isola.

### Riferimenti

- [1] P. Berardino, G. Fornaro, R. Lanari, and E. Sansosti, "A new algorithm for surface deformation monitoring based on small baseline differential SAR interferograms", *IEEE Trans. Geosci. Remote Sens.*, vol. 40, no. 11, pp. 2375–2383, Nov. 2002.
- [2] F. Casu and A. Manconi, "Four-dimensional surface evolution of active rifting from spaceborne SAR data", *Geosphere*, 2016, doi: 10.1130/GES01225.1.